

## Список литературы

- [1] Pickett W.E. Comp. Phys. Rep. **9**, 3, 115 (1989).
- [2] Гриняев С.Н., Караваев Г.Ф., Тютерев В.Г. ФТП **23**, 8, 1458 (1989).
- [3] Yoder P.D., Natoli V.D., Martin R.M. J. Appl. Phys. **73**, 9, 4378 (1993).
- [4] Bachelet G.R., Greenside H.S., Baraff G., Schluter M. Phys. Rev. **B24**, 8, 4745 (1981).
- [5] Ревинский А.Ф. Весці АНБ. Сер. Фіз.-мат. науки, 2, 47 (1992).
- [6] Yin M.T., Cohen M.L. Phys. Rev. **B26**, 6, 3259 (1982).
- [7] Ревинский А.Ф. Вестн. БГУ. Сер. 1, 2, 33 (1994).
- [8] Гантмахер В.Ф., Левинсон И.Б. Рассеяние носителей тока в металлах и полупроводниках. М. (1984). 349 с.
- [9] Palomo A., Verges J.A. Phys. Rev. **B30**, 4, 2104 (1984).
- [10] Klennner M., Falter C., Ludwig W. Ann. Phys. **1**, 1, 24 (1992).
- [11] Jacoboni C., Reggiani L. Adv. Phys. **28**, 4, 493 (1979).

© Физика твердого тела, том 37, № 9, 1995  
Solid State Physics, vol. 37, N 9, 1995

## ОСОБЕННОСТИ РАЗМЕРНОГО МАГНИТОУПРУГОГО РЕЗОНАНСА В БОРАТЕ ЖЕЛЕЗА В МНОГОДОМЕННОМ СОСТОЯНИИ

Х.Г.Богданова, В.А.Голенищев-Кутузов, М.И.Куркин,  
И.Р.Низамиеv, М.М.Шакирзянов

Казанский физико-технический институт Российской академии наук,  
420029, Казань, Россия  
(Поступило в Редакцию 20 февраля 1995 г.)

Как известно, сильное магнитоупругое (МУ) взаимодействие в FeBO<sub>3</sub> обусловливает возбуждение интенсивных МУ колебаний переменным магнитным полем, что используется при возбуждении размерного МУ резонанса (РМУР) [1,2]. Одним из достоинств РМУР является то, что он позволяет изучать влияние МУ взаимодействия на магнитные и упругие свойства одновременно, что особенно важно при изучении магнитных и структурных фазовых переходов [3], доменной структуры и процессов монодоменизации в магнетиках. При этом доменная структура, на наш взгляд, должна оказывать существенное влияние на интенсивность и частоту РМУР.

В настоящей работе сообщается о результатах экспериментального исследования РМУР в борате железа при электромагнитном способе его возбуждения. Исследуемые монокристаллические образцы FeBO<sub>3</sub> помещались в катушку индуктивности колебательного контура с переменной емкостью, позволяющей перестраивать его собственную частоту. Переменное ( $h(t)$ ) и постоянное ( $H$ ) магнитные поля были приложены в базисной плоскости (111) кристалла (перпендикулярно оси третьего порядка  $C_3$ ) перпендикулярно друг другу ( $h(t) \perp H \perp C_3$ ). Сигнал РМУР регистрировался по изменению добротности РЧ-контура (вставка на рис. 1), что соответствует сигналу поглощения в режиме непрерывного прохождения. В качестве образцов использовались тонкие пластинки FeBO<sub>3</sub> толщиной  $L = 0.77$  и  $0.26$  mm, основная плоскость ( $8.2 \times 1.7$  mm) которых совпадала с базисной плоскостью кристалла.

В такой геометрии возбуждаются сдвиговые МУ волны, связанные с компонентой  $B_{14}$  МУ тензора [1,4] и распространяющиеся вдоль оси  $C_3$  ( $k_n \parallel C_3$ ). При размерном резонансе волновой вектор определяется выражением

$$k_n = (2\pi/L)(2n+1), \quad n = 0, 1, 2, \dots, \quad (1)$$

где  $n$  — номер гармоники. Ранее о результатах исследования РМУР в борате железа сообщалось в работе [1], где были приведены данные лишь для одной толщины ( $L = 0.095$  mm) и одной частоты РМУР  $\nu_0(\infty) = 25$  MHz, соответствующей основной гармонике ( $n = 0$ ). Согласно [4], пленки FeBO<sub>3</sub> такой толщины остаются монодоменными даже в нулевом магнитном поле. Поэтому экспериментальная кривая зависимости частоты РМУР  $\nu_0(H)$  от постоянного поля  $H$  в [1] хорошо согласуется с теоретической кривой для монодоменного легкоплоскостного антиферромагнетика (АФЛП), определяемой выражением [1]

$$\nu_n(H) = \nu_n(\infty) \left\{ 1 - \frac{4H_E B_{14}^2 / C_{44} M_0}{H^2 + H H_D + 2H_E H_{ms}} \right\}^{1/2}, \quad \nu_n(\infty) = \frac{(2n+1)}{2L} \left( \frac{C_{44}}{\rho} \right)^{1/2}, \quad (2)$$

где  $H_E = 3 \cdot 10^6$  Oe — обменное поле,  $H_D = 0.7 \cdot 10^5$  Oe — поле Дзялошинского,  $C_{44}$  — компонента тензора модулей упругости, определяющая скорость сдвиговых волн в направлении  $C_3$ ,  $H_{ms}$  — эффективное поле спонтанной магнитострикции,  $M_0$  — намагниченность подрешетки,  $\nu_n(\infty)$  — частота РМУР при  $H \rightarrow \infty$ ,  $\rho$  — плотность кристалла.

В отличие от [1] мы проводили экспериментальное изучение явления РМУР, во-первых, в более толстых образцах, которые в малых полях  $H$  обладают сложной доменной структурой; во-вторых, исследовались образцы разной толщины  $L$ , что позволило выявить зависимость параметров РМУР от  $L$ ; в-третьих, измерения проводились для двух гармоник, соответствующих  $n = 0$  и 1, что дало возможность определить зависимости характеристик РМУР от  $n$ .

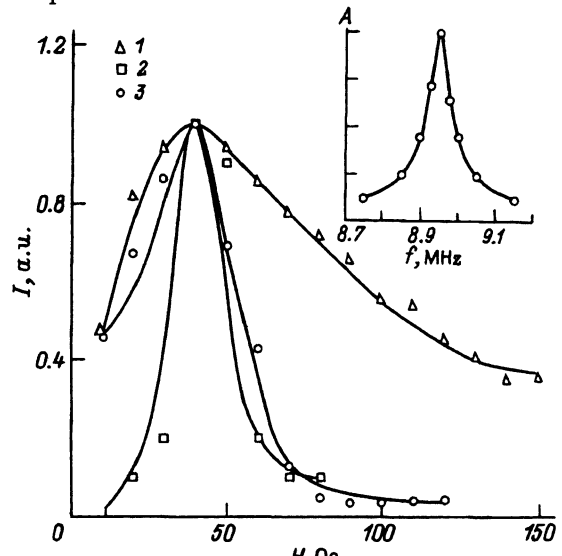


Рис. 1. Зависимость интенсивности сигналов РМУР от магнитного поля для трех случаев.  
Пояснения в тексте.

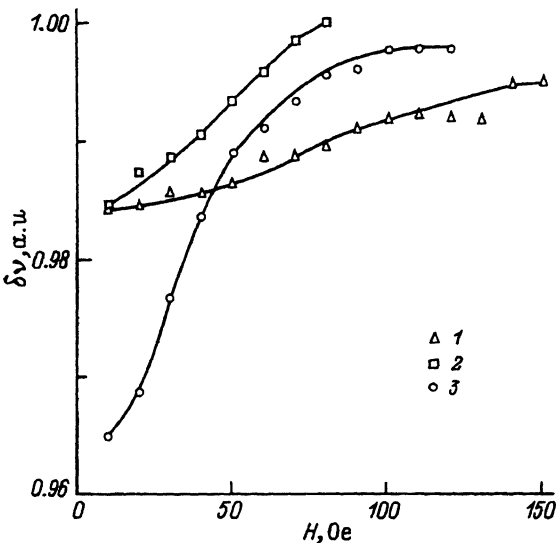


Рис. 2. Зависимость относительного сдвига частоты РМУР от магнитного поля для трех случаев.

$L$  (мм),  $n$  и  $\nu_0(\infty)$  (MHz) соответственно равны: 1 — 0.77, 0 и 3.115; 2 — 0.77, 1 и 9.9; 3 — 0.26, 0 и 9.1.

На рис. 1 приведены зависимости интенсивности сигналов РМУР  $I_n(H, L)$  от магнитного поля для трех случаев:  $L = 0.77$  мм,  $n = 0$ ,  $\nu_0(\infty) = 3.115$  MHz (1);  $L = 0.77$  мм,  $n = 1$ ,  $\nu_1(\infty) = 9.4$  MHz (2);  $L = 0.26$  мм,  $n = 0$ ,  $\nu_0(\infty) = 9.1$  MHz (3). Все кривые имеют максимум при  $H \approx 40$  Ое. На рис. 2 представлены данные по полевой зависимости частоты РМУР  $\nu_n(H, L)$ . Для всех случаев наблюдается монотонное возрастание  $\nu_n(H, L)$  с ростом  $H$ , которое качественно согласуется с формулой (2). В то же время имеются значительные количественные расхождения между экспериментальными и теоретическими кривыми, рассчитанными согласно формуле (2). Тем не менее некоторые количественные оценки можно дать для всего интервала изменения частоты  $\nu_n(H, L)$ . Так, относительное изменение частоты

$$\varepsilon_n = \frac{\Delta\nu_n(L)}{\nu_n(\infty, L)} = \frac{(\nu_n(0, L) - \nu_n(\infty, L))}{\nu_n(\infty, L)}, \quad (3)$$

согласно (2), определяется соотношением

$$\varepsilon_n \cong \frac{M_0 B_{14}^2}{C_{44} H_{ms}}. \quad (4)$$

Как следует из (4), величина  $\varepsilon_n(L)$  не зависит от номера  $n$  возбуждаемой гармоники, что согласуется с данными на рис. 2 ( $\varepsilon_0(0.77)/\varepsilon_1(0.77) \approx 1$ ). В то же время эксперимент дает значительную зависимость  $\varepsilon_n(L)$  от толщины образца  $L$  ( $\varepsilon_0(0.26)/\varepsilon_0(0.77) \approx 2$ ), что может быть связано с различием эффективного поля спонтанной магнитострикции  $H_{ms}$  в образцах разной толщины.

На наш взгляд, наблюдаемые особенности в полевых зависимостях  $I_n(H, L)$  и  $\nu_n(H, L)$  обусловлены образованием доменной структуры в исследуемых образцах при  $H < 40$  Ое. Это предположение основано на следующих соображениях. Прежде всего наблюдаемая зависимость

интенсивности МУ колебаний  $I_n(H, L)$  от  $H$  совершенно не согласуется с зависимостью  $I_n(H, L)$  для монодоменного образца АФЛП

$$I_n(H, L) \propto 1/(H^2 + HH_D + 2HEH_{ms}), \quad (5)$$

вытекающей из решения уравнений МУ динамики [5,6], полученного с учетом возбуждающего переменного поля и условий эксперимента. Формула (5), качественно описывающая наблюдаемое поведение  $I_n(H, L)$  при  $H > 40$  Ое, не объясняет резкого уменьшения  $I_n(H, L)$  при  $H < 40$  Ое.

Однако если допустить, что при  $H < 40$  Ое образцы находятся в многодоменном состоянии, то процессы смещения доменных границ, как хорошо известно [7], будут экранировать проникновение поля  $h(t)$  внутрь доменов. И поскольку экранирование растет с увеличением числа границ (при уменьшении  $H$ ), то в результате уменьшается объем образца, в который проникает поле  $h(t)$ , что и обеспечивает падение  $I_n(H, L)$  при  $H < 40$  Ое. И наконец, поскольку с доменной структурой связаны дополнительные спонтанные магнитострикционные напряжения (по сравнению с монодоменным образцом), то, очевидно, можно предположить существенную зависимость  $H_{ms}$  от толщины образца  $L$  в выражении (4), о чём говорилось выше.

Таким образом, доменная структура образца оказывает большое влияние на параметры РМУР. Благодаря этому, на наш взгляд, РМУР может использоваться в качестве чувствительного метода исследования доменной структуры и процессов монодоменизации магнетиков. В заключение заметим, что дальнейшие экспериментальное и теоретическое исследования РМУР позволяют установить количественные связи параметров РМУР с характеристиками образца.

Работа выполнена при финансовой поддержке Российского фонда фундаментальных исследований (93-02-14026).

#### Список литературы

- [1] Seavey M.H. Solid State Commun. **10**, 219 (1972).
- [2] Богданова Х.Г., Голенищев-Кутузов В.А., Медведев Л.И., Куркин М.И., Низамиев И.Р., Танкеев А.П. ЖЭТФ **103**, 1, 163 (1993).
- [3] Туров Е.А., Шавров В.Г. УФН **140**, 3, 429 (1983).
- [4] Фарзтдинов М.М. Физика магнитных доменов в антиферромагнетиках и ферритах. М. (1981). 155 с.
- [5] Ожогин В.И., Преображенский В.Л. УФН **155**, 4, 593 (1988).
- [6] Луговой А.А., Туров Е.А. ЖЭТФ **94**, 10, 358 (1988).
- [7] Хуберт А. Теория доменных стенок в упорядоченных средах. М. (1977). С. 30.